

**СООБЩЕНИЯ  
ОБЪЕДИНЕННОГО  
ИНСТИТУТА  
ЯДЕРНЫХ  
ИССЛЕДОВАНИЙ  
ДУБНА**

Б 869

**P11-88-409**

**Т.Л.Бояджиев, Д.В.Павлов, И.В.Пузынин**

**НЬЮТОНОВСКИЙ АЛГОРИТМ  
ВЫЧИСЛЕНИЯ КРИТИЧЕСКИХ ПАРАМЕТРОВ  
В ОДНОМЕРНОМ НЕОДНОРОДНОМ  
ДЖОЗЕФСОНОВСКОМ ПЕРЕХОДЕ**

**1988**

## 1. ПОСТАНОВКА ЗАДАЧИ

Стационарные состояния в одномерном джозефсоновском переходе длины  $2R$  с одной микронеоднородностью в середине  $x = 0$  описываются фазой  $\phi(x)$ , являющейся решением нелинейной граничной задачи /1-4/:

$$-\phi'' + j_D(x) \sin \phi + \gamma = 0, \quad (1.1)$$

$$\phi'(\pm R) = h_0, \quad (1.2)$$

где  $j_D(x)$  — ток Джозефсона, а штрихом обозначено дифференцирование по зависимой переменной  $x \in [-R, R]$  (все величины безразмерны, о выборе соответствующей системы единиц см., например, статью /1/). Для аналитических расчетов удобно принять модель точечной неоднородности, что допустимо, если поле  $\phi(x)$  достаточно мало изменяется на протяжении неоднородности. В указанном случае решение формально выписывается через эллиптические функции /1/. Реальные неоднородности, однако, всегда имеют конечные размеры, что следует учитывать при численных расчетах. В настоящей работе, как и ранее /2-4/, неоднородность моделируется гладкой функцией

$$j_D(x) = 1 - \operatorname{sech}^2 \left[ \frac{2x}{\mu} \right],$$

где  $\mu$  — ширина неоднородности. Внешний ток  $\gamma$  на практике существенно меняется только вблизи концов перехода, ввиду чего в первом приближении его можно считать постоянным. Величина  $h_0$  представляет собой значение магнитного поля на концах перехода.

При фиксированных значениях "технологических" параметров  $R$  и  $\mu$  задача (1.1), (1.2) имеет несколько нетривиальных решений, число и вид которых зависят от "физических" параметров  $h_0$  и  $\gamma$ , т.е.

$$\phi = \phi(x, h_0, \gamma).$$

В модели с точечной неоднородностью число решений есть число корней нелинейной системы, получаемой из общего решения уравнения на отрезках  $[-R, 0)$  и  $(0, R]$  с учетом граничных условий, а также с учетом непрерывности функции  $\phi(x)$  и условия скачка производной  $\phi'(x)$  в точке  $x = 0$ .

Отметим, что решения уравнения (1.1) обладают следующими свойствами симметрии. Если функция  $\phi(x, h_0, \gamma)$  — решение, то

$-\phi(x, -h_0, -\gamma)$  также есть решение. Далее, функции  $\phi(x, -h_0, \gamma)$  и  $-\phi(x, h_0, -\gamma)$  являются решениями задачи (1.1) с граничными условиями  $\phi'(\pm R) = -h_0$ . Наконец, если  $\phi_0(x)$  есть решение, то

$$\phi_k = \phi_0 + 2\pi k, \text{ где } k = 0, \pm 1, \pm 2, \dots,$$

также есть решение задачи (1.1), (1.2).

Флюксонные состояния в бесконечных переходах исследованы достаточно подробно (см., например, монографии <sup>5,6/</sup>). В конечных и неоднородных переходах о флюксоне можно говорить лишь в той степени, в какой можно пренебречь влиянием на него границ, а также неоднородности и внешнего тока  $\gamma$  через переход. Условимся называть флюксонном любое решение, для которого производная  $\phi'(x) \geq 0$  при  $x \in [-R, R]$ ; ввиду отмеченной симметрии, существует также решение с  $\phi'(x) \leq 0$ , которое будем называть антифлюксонном.

Устойчивость или неустойчивость некоторого решения  $\phi(x, h_0, \gamma)$  нелинейной граничной задачи (1.1), (1.2) определяется <sup>1/</sup> знаком минимального собственного числа порожденной этим решением задачи Штурма — Лиувилля

$$-\psi'' + U(x)\psi = \lambda\psi, \quad (1.3)$$

$$\psi'(\pm R) = 0, \quad (1.4)$$

с потенциалом  $U = j_D(x) \cos \phi(x)$ . При  $\lambda_{\min} > 0$  решение устойчиво, при  $\lambda_{\min} < 0$  — неустойчиво. Случай

$$\lambda_{\min}(h_0, \gamma) = 0 \quad (1.5)$$

соответствует бифуркации решения. С физической точки зрения условие  $\lambda_{\min} > 0$  (устойчивость) выражает требование минимальности "свободной" энергии перехода

$$\Omega = \mathcal{E} - h_0 \Delta \phi, \quad (1.6)$$

где  $\Delta \phi = \phi(R) - \phi(-R)$  есть полный магнитный поток через переход, а

$$\mathcal{E} = \int_{-R}^R \left[ \frac{1}{2} \phi'(x)^2 + j_D(x)(1 - \cos \phi(x)) + \gamma \phi(x) \right] dx - \quad (1.7)$$

— энергия перехода.

Как показано в работах <sup>3,4/</sup>, с увеличением тока  $\gamma$  область существования по  $h_0$  сужается. Значение  $\gamma_0$ , при котором состояние разрушается, т.е. происходит бифуркация, называется критическим. Исследования зависимости  $\gamma_0(h_0)$  критического тока от магнитного поля

является важной практической задачей. Главный качественный эффект, полученный в указанных работах <sup>3,4/</sup>, состоит в появлении на графике  $\gamma_0(h_0)$  характерных крестообразных структур, соответствующих устойчивым флюксону и антифлюксону, локализованным на неоднородности. Наиболее ярко этот флюксон-антифлюксонный крест выражен в точке  $h_0 = 0$ ; в больших полях влияние микрон неоднородности ослабевает.

Численный эксперимент в работах <sup>3,4/</sup> проводился в следующей последовательности. Для фиксированных значений  $h_0$  и  $\gamma$ , используя непрерывный аналог метода Ньютона (НАМН) <sup>7,8/</sup> с оптимальным шагом <sup>9/</sup> и сплайн-разностную схему <sup>10/</sup> порядка  $O(h^2)$  на равномерной сетке с шагом  $h$ , отыскивали решения нелинейной граничной задачи (1.1), (1.2). Далее, методом итерации подпространств (см., например, <sup>11/</sup>) вычислялась величина  $\lambda_{\min}$ , соответствующая каждому из обнаруженных решений. Для устойчивых решений строились графики функций  $\lambda_{\min}(h_0)$ . Преимущество такой методики заключается в возможности получить полную картину состояний в переходе, выражаемую функцией  $\lambda_{\min}(h_0)^{1/2}$ ; к недостаткам следует отнести ее большую трудоемкость. Поэтому представляется целесообразным разработать иной алгоритм, позволяющий непосредственно получить искомую зависимость.

## 2. ЧИСЛЕННЫЙ АЛГОРИТМ

Зафиксируем величины  $\gamma$  и  $\lambda$  и построим функцию

$$F(z) = \begin{cases} -\phi'' + j_D(x) \sin \phi + \gamma, \\ \phi'(\pm R) - h_0, \\ -\psi'' + (j_D(x) \cos \phi - \lambda) \psi, \\ \psi'(\pm R), \end{cases} \quad (2.1)$$

где переменная  $z = (\phi, \psi, h_0)$ . Основная идея заключается в рассмотрении уравнения

$$F(z) = 0 \quad (2.2)$$

как нелинейной задачи на собственные значения со спектральным параметром  $h_0$ . Будем искать решение  $z^*$  (2.2) в классе функций, удовлетворяющих условию нормировки:

$$\langle \psi, \psi \rangle \equiv \int_{-R}^R \psi^2(x) dx = 1. \quad (2.3)$$

Предположим, что такое решение существует и является изолированным, т.е. имеется окрестность  $\|z - z^*\| < \epsilon$ , в которой  $F(z) \neq 0$ . Для отыскания  $z^*$  будем использовать НАМН. Суть этого метода, как известно, заключается в параметризации функции  $z$  непрерывным параметром  $t \in [0, +\infty)$  ("время") с последующей заменой стационарного уравнения (2.2) эволюционным процессом

$$\begin{cases} F'(z(t)) \frac{dz(t)}{dt} + F(z(t)) = 0, \\ z(0) = z_0. \end{cases} \quad (2.4)$$

где через  $F'(z)$  обозначена производная Фреше, а  $z_0$  есть начальное приближение к искомому решению. Уравнение (2.4) имеет первый интеграл  $F(z) = e^{-t} F(z_0)$ , из которого при дополнительных условиях непрерывности функций  $F(z)$  и  $F'(z)$ , а также ограниченности  $F'(z)^{-1}$  в некоторой окрестности точки  $z^*$ , вытекает /7,8/ сходимости при  $t \rightarrow +\infty$  непрерывной траектории  $z(t)$  к точному решению.

Для численной реализации НАМН необходима дискретизация уравнения (2.4). В работах /8,12/ для этой цели предложен и обоснован метод Эйлера, который и используется в настоящей работе. На другие возможности указывается в /13/.

Введем, вообще говоря, неравномерную сетку с шагом  $r_k$ ; тогда на каждом слое  $t_k$  (на каждой итерации) имеем линейную дифференциальную задачу

$$F'(z^k) w^k + F(z^k) = 0 \quad (2.5)$$

относительно приращения

$$w^k = \frac{\Delta z^k}{\Delta t_k} = \frac{z^{k+1} - z^k}{t_{k+1} - t_k} = \frac{z^{k+1} - z^k}{r_k}.$$

Следующее приближение находится по формуле

$$z^{k+1} = z^k + r_k w^k. \quad (2.6)$$

В случае  $r_k = 1$  для всех  $k$  мы приходим к обычному методу Ньютона, который для матричных нелинейных спектральных задач рассматривался, например, в /14/. В настоящей работе, как и ранее /2-4/, применяется выбор итерационного шага, предложенный в /6/. Суть его заключается в аппроксимации невязки

$$\delta(r) = \|F(z^k + r_k w^k)\|^2$$

квадратичным по  $r$  полиномом, точка минимума которого определяет оптимальный шаг:

$$r_{opt} = \frac{\delta(0)}{\delta(0) + \delta(1)}. \quad (2.7)$$

Ясно, что  $r_{opt} \in [0,1]$  и при  $r_{opt} > 0,5$  имеет место сходимости процесса. Во избежание слишком медленной сходимости вводится ограничение  $r_{opt} \geq 0,1$ . В работе /7/ показано, что вблизи простого изолированного корня сходимости итераций (2.6), (2.7) является квадратичной. Ниже приведено численное исследование метода в применении к конкретной задаче.

Приведем подробную запись соотношений (2.6), при этом приращение

$$w^k = \left( \frac{d}{dt} \phi^k, \frac{d}{dt} \psi^k, \frac{d}{dt} h_0^k \right) = (a^k(x), b^k(x), c^k)$$

(для упрощения записи индекс  $k$  итерации опускаем):

$$-a'' + j_D(x) \cos \phi a - \phi'' + j_D(x) \cos \phi + \gamma = 0, \quad (2.8)$$

$$a'(\pm R) - c + \phi'(\pm R) - h_0 = 0, \quad (2.9)$$

$$-b'' + (j_D(x) \cos \phi - \lambda) b + j_D(x) \sin \phi \psi a - \quad (2.10)$$

$$-\psi'' + (j_D(x) \cos \phi - \lambda) \psi = 0,$$

$$b'(\pm R) + \psi'(\pm R) = 0. \quad (2.11)$$

Сюда надо добавить также соотношение ортогональности

$$\langle \psi, b \rangle = 0, \quad (2.12)$$

вытекающее из условия нормировки (2.3).

Для решения системы (2.8)-(2.11) воспользуемся "методом окаймления" — будем искать решение в виде

$$\begin{cases} a(x) = a_1(x) + c a_2(x), \\ b(x) = b_1(x) + c b_2(x), \end{cases} \quad (2.13)$$

где  $a_1, a_2, b_1, b_2$  — новые неизвестные функции. Подставляя (3.6) в (3.1)-(3.5) и выбирая коэффициенты перед  $c$  равными нулю, получим

$$a_1'' - j_D(x) \cos \phi a_1 = j_D(x) \sin \phi + \gamma - \phi'', \quad (2.14)$$

$$a_1'(\pm R) = h_0 - \phi'(\pm R), \quad (2.15)$$

$$a_2'' - j_D(x) \cos \phi a_2 = 0, \quad (2.16)$$

$$a_2'(\pm R) = 1, \quad (2.17)$$

$$b_1'' - (j_D(x) \cos \phi - \lambda) b_1 =$$

$$= -j_D(x) \sin \phi \psi a_1 + (j_D(x) \cos \phi - \lambda) \psi - \psi'', \quad (2.18)$$

$$b_1'(\pm R) = -\psi(\pm R), \quad (2.19)$$

$$b_2'' - (j_D(x) \cos \phi - \lambda) b_2 = -j_D(x) \sin \phi \psi a_2, \quad (2.20)$$

$$b_2'(\pm R) = 0, \quad (2.21)$$

$$c = -\langle b_1, \psi \rangle / \langle b_2, \psi \rangle. \quad (2.22)$$

Таким образом, замена (2.13) позволяет свести задачу о вычислении приращений функций к решению четырех граничных задач с попарно одинаковыми дифференциальными операторами и разными правыми частями. Укажем, что для линейных спектральных задач этот подход обоснован в [11]. Приращение неизвестного  $h_0$  определяется по формуле (2.22).

### 3. ЧИСЛЕННАЯ РЕАЛИЗАЦИЯ АЛГОРИТМА

Далее рассмотрим линейное дифференциальное уравнение

$$y'' - q(x)y = r(x), \quad x \in [-R, R], \quad (3.1)$$

с граничными условиями Неймана

$$y'(\pm R) = s. \quad (3.2)$$

К аналогичному виду путем простого преобразования приводится любая из граничных задач (2.14)-(2.21). Для численного решения введем на интервале  $[-R, R]$  равномерную сетку

$$\omega = \{x_i, i = 0, 1, 2, \dots, N; x_0 = -R, x_N = R\}$$

с шагом  $h = 2R/N$ , а также сетку  $\bar{\omega}$ , которая получается добавлением к  $\omega$  двух точек  $x_{-1} = x_0 - h$  и  $x_{N+1} = x_N + h$ . Для произвольной функции  $f(x)$  на  $[-R-h, R+h]$  положим  $f_i = f(x_i)$ .

Для аппроксимации уравнения (3.1) в узлах сетки  $\omega$  применим формулы неявного численного дифференцирования

$$y_i'' \approx D^{(2)} y_i - T M_i + O(h^4), \quad (3.3)$$

где

$$D^{(2)} y_i = \frac{1}{h^2} (y_{i-1} - 2y_i + y_{i+1}),$$

$$T y_i = \frac{1}{12} (y_{i-1} + 10y_i + y_{i+1}),$$

Граничные условия (3.2) для численного решения заменим в точках  $x_0$  и  $x_N$  при помощи формул

$$y_i' \approx D^{(1)} (y_i - \frac{h^2}{6} M_i) + O(h^4), \quad (3.4)$$

где

$$D^{(1)} = \frac{1}{2h} (y_{i+1} - y_{i-1}).$$

В правых частях формул (3.3), (3.4)  $M_i$  найдем из равенства

$$M_i - q_i y_i = r_i,$$

которое считаем справедливым во всех точках сетки  $\bar{\omega}$ .

Проведенная аппроксимация имеет четвертый порядок по шагу сетки.

Итак, после дискретизации задачи (3.1), (3.2) приходим к системе линейных уравнений относительно неизвестных  $y_{-1}, y_0, y_1, y_2, \dots, y_{N-1}, y_N, y_{N+1}$ . Матрица полученной системы трехдиагональна за исключением первой и последней строки, вытекающих из граничных условий (3.2), поскольку в них входят коэффициенты при  $y_1$  и  $y_{N-1}$ . Но легко исключить  $y_1$  из первого уравнения системы, рассмотрев совместно с ним второе уравнение, аппроксимирующее (3.1) в точке  $x_0$ . Аналогично при помощи предпоследнего уравнения линейной системы исключается из последнего уравнения  $y_{N-1}$ , и матрица системы становится трехдиагональной.

Дискретизированные граничные задачи (2.14)-(2.21) выгодно решать LU-разложением, так как у задач для  $a_1, a_2$  и  $b_1, b_2$  матрицы линейных систем одинаковы, а отличаются лишь свободные члены. Т.е. для четырех задач необходимо только два LU-разложения.

Для заданного  $\lambda \geq 0$  алгоритм не обязательно сходится к решению с  $\lambda = \lambda_{\min}$ . Если  $\lambda_{\min} < 0$ , то при изменении параметров задачи могут происходить бифуркации неустойчивых решений в неустойчивые. В этом случае обращается в ноль некоторое высшее собственное значение, номер  $n$  которого (при  $\lambda_{\min} = \lambda_0$ ) определяет порядок точки бифуркации (конкретные примеры решений, полученных численным путем и имеющих точки бифуркации порядка  $n \geq 1$ , приведены в [2]). В рамках предлагаемого алгоритма проблема выделения точек бифуркации устойчивых решений решается проще всего при помощи осцилляционной теоремы для задачи Штурма — Лиувилля [11]: если решение  $\phi(x)$  устойчиво, то число узлов собственной функции  $\psi(x)$  равно нулю, т.е.  $\lambda_{\min} = \lambda$ .

#### 4. НЕКОТОРЫЕ ЧИСЛЕННЫЕ РЕЗУЛЬТАТЫ

Как описано в п.3, на каждой итерации выбор оптимального шага осуществлялся по алгоритму, предложенному в [9]. Был произведен расчет, подтверждающий эффективность такого подхода. В этом можно убедиться, рассмотрев сходимость задачи (2.4) к какому-либо конкретному решению. На рис. 1 показана зависимость невязки  $\delta$  от шага  $\tau$  для некоторых значений номера итерации. Видно, что зависимость  $\delta(\tau)$  близка к квадратичной, и выбор оптимального шага  $\tau_{\text{opt}}$  осуществляется вблизи вершины параболы, аппроксимирующей невязку.

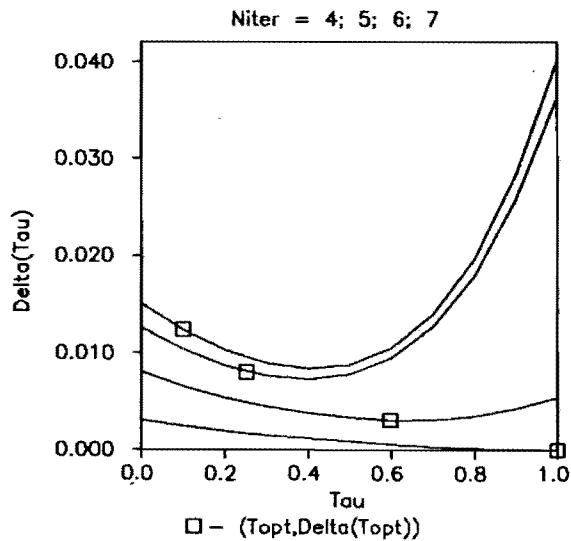


Рис. 1

Подробный анализ численных экспериментов с точки зрения физики явлений в джозефсоновских переходах будет проведен в отдельной работе. Здесь в качестве иллюстрации приведем лишь некоторые результаты расчетов.

В ходе исследований были получены различные как устойчивые, так и неустойчивые решения. На рис. 2 показаны некоторые неустойчивые решения  $\phi(x)$  и соответствующие им собственные функции  $\psi(x)$ , найденные при длине перехода  $2R=10$  и размере неоднородности в середине  $\mu=1,2$ .

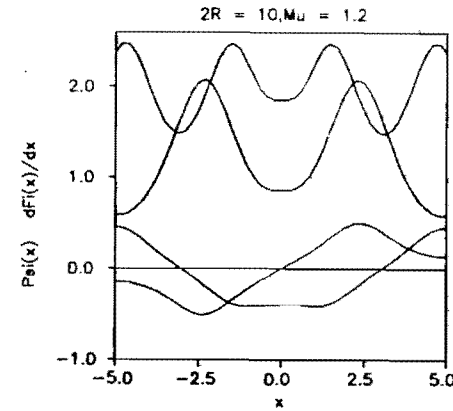


Рис. 2

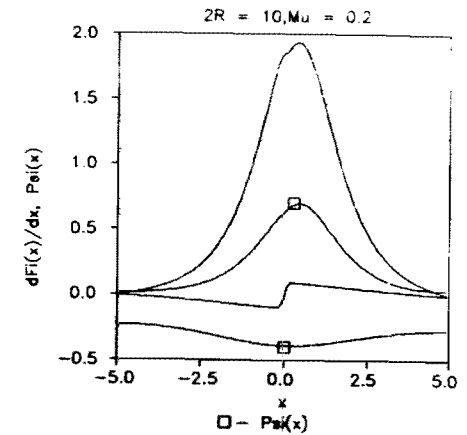


Рис. 3

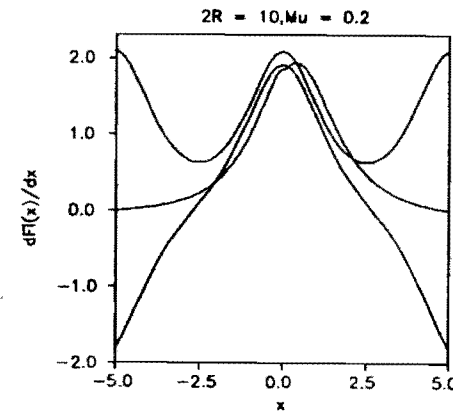


Рис. 4

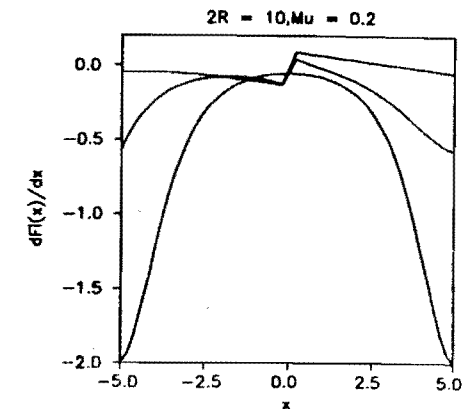


Рис. 5

Среди возможных решений ставилось целью исследовать так называемые мейсснеровские решения — такие распределения магнитного потока, когда магнитное поле проникает в переход только на длину порядка лондоновской длины, а также решения типа "флюксон", когда магнитное поле локализовано на микронеоднородности. Конкретные примеры указанных решений в окрестности точки бифуркации изображены на рис. 3.

Была получена зависимость критического тока  $y_c$  от магнитного поля на концах перехода  $h_0$  для мейсснеровского решения, флюксона и антифлюксона, а также изменение полного магнитного потока  $\Delta\phi$  вдоль кривых  $y_c(h_0)$  и энергии  $E$ , сосредоточенной внутри перехода.

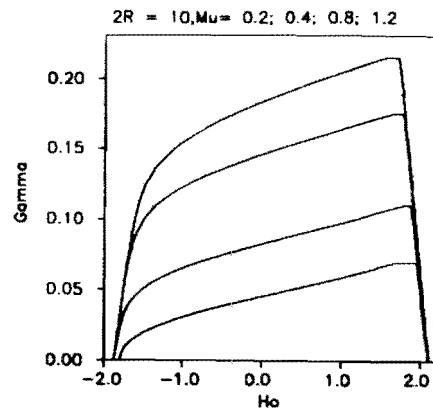


Рис.6

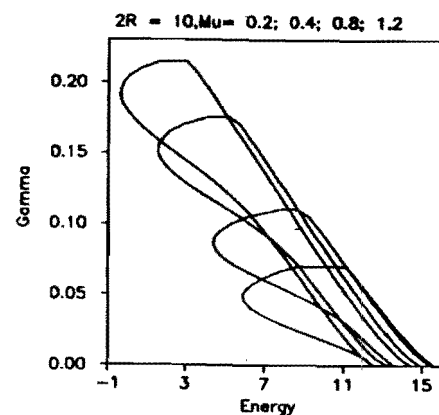


Рис.7

На рис. 4 показано развитие флюксона вдоль кривой  $\gamma_c(h_0)$ . На рис.5 представлено изменение мейсснеровского решения.

Проведен анализ влияния размера микронеоднородности  $\mu$  на зависимость критического тока  $\gamma_c$  от магнитного поля  $h_0$ . Оказалось, что критический ток для флюксона при одном и том же магнитном поле больше для переходов с большим размером неоднородности (рис. 6). На мейсснеровские решения размер неоднородности существенного влияния не оказывает. Изменения критического тока при изменении  $\mu$  вызывают, очевидно, изменения энергии перехода. Этот факт отражен на рис. 7.

### 5. УТОЧНЕННАЯ МОДЕЛЬ ДЖОЗЕФСОНОВСКОГО ПЕРЕХОДА

Для сравнения численных результатов с реальными джозефсоновскими переходами может оказаться существенной неоднородность вдоль перехода внешнего тока  $\gamma$ . Поэтому рассмотрена модель, в которой введена зависимость величины  $\gamma$  от координаты  $x$ , имеющая вид

$$\gamma(x) = \frac{2R\gamma_0}{\pi - 2 \arcsin \frac{\delta}{R}} (R^2 + \delta^2 - x^2)^{-1/2}, \quad (5.1)$$

где  $\delta$  — параметр,  $\delta \ll R$ ;  $\gamma_0$  — средняя плотность тока через переход.

Для численной реализации измененной модели был изменен также способ аппроксимации граничных условий (3.4). Для того, чтобы не использовать точки  $\bar{\omega}$  сетки  $x_{-1} = -R - h$  и  $x_{N+1} = R + h$ , первая производная была заменена при помощи формул

Таблица 1

Случай  $2R = 10, \mu = 0,2$

$m(0) / s(0)$	$\gamma = \text{Const}$	$\gamma = \gamma(x, \delta)$			
		0,02	0,05	0,1	0,2
$h = 0,2$	21,53	—	—	—	—
$h = 0,1$	26,21	—	—	—	14,79
$h = 0,05$	26,10	—	—	14,34	15,10
$h = 0,02$	26,10	—	14,18	14,74	15,15
$h = 0,01$	26,10	13,73	14,50	14,82	15,14

Таблица 2

Случай  $2R = 10, \mu = 0,2$

$s(0)$	$\gamma = \text{Const}$	$\gamma = \gamma(x, \delta)$			
		0,02	0,05	0,1	0,2
$h = 0,2$	0,0454	—	—	—	—
$h = 0,1$	0,0375	—	—	—	0,0547
$h = 0,05$	0,0375	—	—	0,0557	0,0523
$h = 0,02$	0,0375	—	0,0556	0,0535	0,0523
$h = 0,01$	0,0375	0,0572	0,0540	0,0529	0,0521

Таблица 3

Случай  $2R = 10, \mu = 0,2$

$m(0)$	$\gamma = \text{Const}$	$\gamma = \gamma(x, \delta)$			
		0,02	0,05	0,1	0,2
$h = 0,2$	0,9774	—	—	—	—
$h = 0,1$	0,9839	—	—	—	0,8092
$h = 0,05$	0,9785	—	—	0,7890	0,7992
$h = 0,02$	0,9785	—	0,7887	0,7885	0,7917
$h = 0,01$	0,9785	0,7849	0,7835	0,7842	0,7890

$$y'_0 = \frac{1}{12h} (-25y_0 + 48y_1 - 36y_2 + 16y_3 - 3y_4),$$

$$y'_N = \frac{1}{12h} (25y_N - 48y_{N-1} + 36y_{N-2} - 16y_{N-3} + 3y_{N-4}).$$

Теперь матрица дискретизированной задачи приводится к трехдиагональному виду следующим образом: совместно с первым уравнением системы, вытекающим из левого граничного условия, рассматриваются последующие три уравнения, и при их помощи из первого уравнения исключаются "ненужные" нам  $y_2, y_3, y_4$ ; аналогично преобразуется последнее уравнение системы.

Согласно (5.1) плотность тока вблизи краев перехода сильно меняется. Для корректности численного эксперимента естественно потребовать, чтобы на участках наибольших градиентов  $y(x)$  на интервал пятидесятипроцентного изменения плотности тока попадали по крайней мере две точки сетки. Отсюда получается условие для шага сетки  $h < 0,5\delta \ll R$ .

Как выяснилось, распределение тока оказывает существенное влияние на критические кривые. Результаты расчетов приведены в таблицах 1, 2, 3, где приняты следующие обозначения:  $s(0), m(0)$  — критический ток в нулевом магнитном поле для флюксона и для мейсснеровского решения соответственно.

Авторы выражают благодарность Ю.С.Гальперн, А.Т.Филиппову и В.Я.Гольдину за ценные обсуждения.

#### ЛИТЕРАТУРА

1. Гальперн Ю.С., Филиппов А.Т. — ЖЭТФ, 1984, т.86, с.1527.
2. Бояджиев Т.Л. и др. Сообщение ОИЯИ, P11-85-807, Дубна, 1985.
3. Бояджиев Т.Л. и др. Сообщение ОИЯИ P17-86-506, Дубна, 1986.
4. Filippov A.T. et al. — Phys. Lett. A, 1987, v.120, No1.
5. Бароне А., Патерно Дж. Эффект Джозефсона. М.: Мир, 1984.
6. Лыхарев К.К. Введение в динамику джозефсоновских переходов. М.: Наука, 1985.
7. Гавурич М.К. — Изв. вузов, математика, 1958, т.5/6, с.18.
8. Жидков Е.П., Пузынин И.В. — ДАН СССР, 1967, т.174, 2, с.271.
9. Ермаков В.В., Калиткин Н.Н. — ЖВМ и МФ, 1981, т.21, №2, с.491.
10. Завьялов Ю.С. и др. Методы сплайн-функций. М.: Наука, 1980, с.491.
11. Хартман Ф. Обыкновенные дифференциальные уравнения. М.: Мир, 1979, с.398.
12. Жидков Е.П., Макаренко Г.И., Пузынин И.В. — ЭЧАЯ, 1973, т.4, вып.1, с.127.
13. Ортега Дж., Рейнболд В. Итерационные методы решения нелинейных систем уравнений со многими неизвестными. М.: Мир, 1975, с.226.
14. Ruhe A., Siam J. — Numer. Anal., 1973, v.10, No.4, p.674.

Рукопись поступила в издательский отдел  
8 июня 1988 года.

Бояджиев Т.Л., Павлов Д.В., Пузынин И.В.  
Ньютоновский алгоритм вычисления критических параметров  
в одномерном неоднородном джозефсоновском переходе

P11-88-409

Рассматривается система

$$\psi'' = j_D(x) \sin \phi + \gamma(x), \quad x \in [-R, R], \quad \psi'(\pm R) = h_0, \quad (1)$$

$$\psi'' = [j_D(x) \cos \phi - \lambda] \psi, \quad \psi'(\pm R) = 0, \quad (2)$$

где  $j_D(x)$  и  $\gamma(x)$  — заданные гладкие функции. Уравнение (1) описывает, в частности, стационарные состояния  $\phi(x, \gamma, h_0)$  в одномерном неоднородном джозефсоновском переходе длиной  $2R$  с внешним током  $\gamma = \int_{-R}^R \gamma(x) dx / 2R$ . Знак минимального собственного значения  $\lambda_{\min}$  задачи Штурма — Лиувилля (2) определяет устойчивость или неустойчивость решения  $\phi$  в смысле малых возмущений. Для вычисления точек бифуркаций  $\gamma_c(h_0)$  система (1), (2) рассматривается при  $\lambda = 0$  как нелинейная задача на собственные значения со спектральным параметром  $h_0$ , численная реализация которой проводится при помощи непрерывного аналога метода Ньютона и сплайн-разностной схемы порядка  $O(h^4)$ .

Работа выполнена в Лаборатории вычислительной техники и автоматизации ОИЯИ.

Сообщение Объединенного института ядерных исследований. Дубна 1988

Перевод О.С.Виноградовой

Boyardjiev T.L., Pavlov D.V., Puzynin I.V.  
Newton's Algorithm for Calculation of the Critical Parameters  
in One-Dimensional Inhomogeneous Josephson Junction

P11-88-409

The system

$$\psi'' = j_D(x) \sin \phi + \gamma(x), \quad x \in [-R, R], \quad \psi'(\pm R) = h_0, \quad (1)$$

$$\psi'' = [j_D(x) \cos \phi - \lambda] \psi, \quad \psi'(\pm R) = 0, \quad (2)$$

for the real functions  $\phi$  and  $\psi$  is considered. Here  $j_D(x)$  and  $\gamma(x)$  are given smooth functions. Equation (1) describes, in particular, the static distributions  $\phi(x, \gamma, h_0)$  in one-dimensional inhomogeneous Josephson junction of length  $2R$ , the external current being equal to  $\gamma = \int_{-R}^R \gamma(x) dx / 2R$ . The sign of the minimal eigenvalue  $\lambda_{\min}$  of the Sturm — Liouville problem (2) decides whether or not the solution is stable under small perturbations. In order to calculate the bifurcation points  $\gamma_c(h_0)$  the system (1), (2) for  $\lambda = 0$  is regarded as a nonlinear eigenvalue problem with spectral parameter  $h_0$ . Numerical calculations are fulfilled using the continuous analog of the Newton's method and spline-difference scheme of order  $O(h^4)$ .

The investigation has been performed at the Laboratory of Computing Techniques and Automation, JINR.

Communication of the Joint Institute for Nuclear Research. Dubna 1988